

# نشریه مهندسی مکانیک امیرکبیر

نشریه مهندسی مکانیک امیرکبیر، دوره ۴۹، شماره ۱، سال ۱۳۹۶، صفحات ۲۰۳ تا ۲۱۸  
DOI: 10.22060/mej.2016.790

## بررسی اثر آرایش توده‌ها بر عملکرد لایه کاتالیست الکترود کاتد یک پل سوختی پلیمری

غلامرضا مولانی منش<sup>۱\*</sup>، محمدهادی اکبری<sup>۲</sup>

<sup>۱</sup>دانشکده مهندسی خودرو، دانشگاه علم و صنعت ایران، تهران، ایران

<sup>۲</sup>دانشکده مهندسی مکانیک، دانشگاه شیراز، شیراز، ایران

**تاریخچه داوری:**  
دریافت: ۲ تیر ۱۳۹۴  
بازنگری: ۴ بهمن ۱۳۹۴  
پذیرش: ۱۸ بهمن ۱۳۹۴  
ارائه اثایران: ۱۹ آبان ۱۳۹۵

**کلمات کلیدی:**  
پل سوختی پلیمری  
روش شبکه-بولتزمن  
مدل توده‌ای  
لایه کاتالیست  
آرایش توده‌ها

**چکیده:** امروزه پل‌های سوختی پلیمری بهدلیل مزایا، کاربردهای متعدد، و تبدیل مستقیم انرژی شیمیایی به انرژی الکتریکی، در صنعت خودرو و سایر صنایع می‌باشدند و توجه قرار گرفته‌اند. با این وجود، شبیه‌سازی آنها بهدلیل فیزیک و ریزساختار نسبتاً پیچیده آنها با دشواری‌هایی همراه بوده است. در مقایله حاضر، جیان و اکتشاف‌یافته‌ها در الکترود کاتد یک پل سوختی پلیمری با استفاده از یک رویکرد چندمقیاسی شبکه-بولتزمن شبیه‌سازی شده است. بدین منظور، یک مدل توده‌ای دوبعدی تکفار، مبتنی بر روش شبکه-بولتزمن ارائه و راستی آزمایی شده و چهت شبیه‌سازی لایه کاتالیست استفاده شده است. میدان سرعت و توزیع گونه‌های شیمیایی در ناحیه حفره، توزیع میزان آب و پتانسیل الکتریکی در لایه نازک الکترولیت اطراف توده‌ها و توزیع چگالی جریان الکتریکی در مزغ غشاء و لایه کاتالیست برای هر دو آرایش منظم و نامنظم توده‌ها ارائه و تحلیل شده‌اند. نتایج این پژوهش حاکی از آن است که پارامترهای پرسی شده بهشت از آرایش توده‌ها در لایه کاتالیست افزایش می‌پذیرند. نتایج این پژوهش می‌تواند راهنمایی‌های مناسبی چهت طراحی بهتر لایه کاتالیست این گونه پل‌ها در اختیار قرار دهد.

### ۱- مقدمه

است که هر یک از این توده‌ها شامل ذرات کربن، نانو ذرات پلاتین و مقداری ماده الکترولیت نفوذ‌کرده در لایه کاتالیست می‌باشد. همچنین اطراف هر یک از توده‌ها را لایه نازک از الکترولیت (لایه الکترولیت) پوشانده است. در شکل ۱، شکل واقعی و شکل شماتیک یک توده فرضی دیده می‌شوند. در قریب به اتفاق مدل‌های توده‌ای ارائه شده توسط پژوهشگران، آرایش توده‌ها به صورت منظم در نظر گرفته شده است؛ این امر در حالی است که بهدلیل ریزساختار غیر همگن و غیر همسان‌گرد لایه کاتالیست آرایش توده‌ها در واقعیت آرایشی نامنظم است. تنها روش‌های عددی مقیاس-حفره نظری روش شبکه-بولتزمن و روش شبکه حفرات قادراند که آرایش نامنظم توده‌ها را مدل نمایند. اهمیت این مهم وقتی روش‌تر می‌شود که دریابیم که با دستکاری ریزساختار لایه کاتالیست، می‌توان کارآیی و عمر آن را تا حد زیادی ارتقا بخشید [۱۲]. در این پژوهش نخست لایه کاتالیست به کمک مدلی دوبعدی، گذرا، همدمان، تکفار، توده‌ای با توده‌های استوانه‌ای و مبتنی بر روش شبکه-بولتزمن با رویکرد فعال مدل می‌شود. سپس جریان سیال درون بخشی از کاتد شامل کanal جریان گاز، لایه نفوذ گاز و لایه کاتالیست به کمک مدلی چندمقیاسی شبیه‌سازی می‌شود. در شبیه‌سازی‌های صورت گرفته از هر دو آرایش منظم و نامنظم توده‌ها در مدل لایه کاتالیست استفاده می‌شود.

منابع انرژی و وسائل مبدل انرژی جدید، ایمن، ارزان، قابل اطمینان و کارا جهت پاسخگویی به نگرانی‌های بشر در زمینه افزایش آلودگی‌های زیست محیطی و کاهش ذخایر فسیلی مورد نیاز می‌باشند [۱]. یکی از راهکارهای رفع چنین نگرانی‌هایی، پل‌های سوختی پلیمری یا همان پل‌های سوختی با غشاء تبادل گر پروتون می‌باشند که از آنها می‌توان به عنوان منبع توان در سیستم‌های متحرک، خودروها و سیستم‌های تولید همزمان گرما و توان استفاده نمود [۲]. با این وجود، چهت کاهش قیمت و افزایش عمر مفید این گونه پل‌ها، تحقیقات بنیادی به خصوص در توسعه لایه کاتالیست الکترود کاتد ضروری اجتناب ناپذیر می‌باشد [۳].

به طور کلی مدل‌های عددی ارائه شده چهت شبیه‌سازی لایه کاتالیست را می‌توان به سه دسته مدل‌های حدفاصل نازک، مدل‌های ماکرو همگن و مدل‌های توده‌ای تقسیم نمود.

این نوع مدل‌ها که کامل‌تر و دقیق‌تر از سایر مدل‌ها می‌باشند [۴]، قادراند که بسیاری از پدیده‌های فیزیکی و الکتروشیمیایی را در لایه کاتالیست مدل نمایند. همچنین این نوع مدل‌ها بیانگر بهتری از ساختار لایه کاتالیست می‌باشند. امروزه تمایل اغلب محققان به استفاده از این گونه مدل‌ها می‌باشد [۱۱-۱۵].

در این گونه مدل‌ها فرض می‌شود که لایه کاتالیست ماتریسی از توده‌ها

بر عملگر برخورد با یک زمان آرامش (مدل BGK [۱۲]) می‌باشد. آرایش شبکه D2Q9 است که D2 به معنی دو بعدی بودن شبکه و Q9 به معنی آن است که هر ذره می‌تواند در هر گام ۹ موقعیت انتخاب کند. معادله شبکه-بولتزمن که از ساده‌سازی معادله بولتزمن در یک شبکه حاصل می‌شود را می‌توان به صورت زیر بیان نمود [۱۴]:

$$f_i(\vec{r} + \vec{c}_i \Delta t, t + \Delta t) = f_i(\vec{r}, t) + \frac{\Delta t}{\tau} [f_i^{eq}(\vec{r}, t) - f_i(\vec{r}, t)] \quad (1)$$

که  $f_i$  تابع توزیع چگالی ذرات در جهت  $i$ ،  $f_i^{eq}$  تابع توزیع چگالی تعادلی ذرات،  $\vec{r}$  موقعیت مکانی،  $t$  زمان،  $\vec{c}_i$  بردار سرعت در جهت  $i$  و  $\tau$  زمان آرامش می‌باشد. تابع توزیع چگالی تعادلی به صورت رابطه (۱) تعریف می‌شود.

$$f_i^{eq} = w_i \rho \left[ 1 + \frac{\vec{c}_i \cdot \vec{u}}{c_s^2} + \frac{1}{2} \frac{(\vec{c}_i \cdot \vec{u})^2}{c_s^4} - \frac{1}{2} \frac{\vec{u} \cdot \vec{u}}{c_s^2} \right] \quad (2)$$

در معادله فوق،  $w_i$  ضریب وزن جهت  $i$  چگالی سیال،  $\rho = \sum_i f_i$  چگالی سیال،  $\vec{u} = \sum_i f_i \vec{c}_i / \sum_i f_i$  سرعت سیال و  $c_s$  سرعت صوت در شبکه می‌باشد.

معادله (۱) طی دو فرایند برخورد و حرارتی شدن حل می‌شود که برای آرایش شبکه D2Q9 دو فرایند مذکور به ترتیب در معادلات (۳) و (۴) نشان داده شده‌اند.

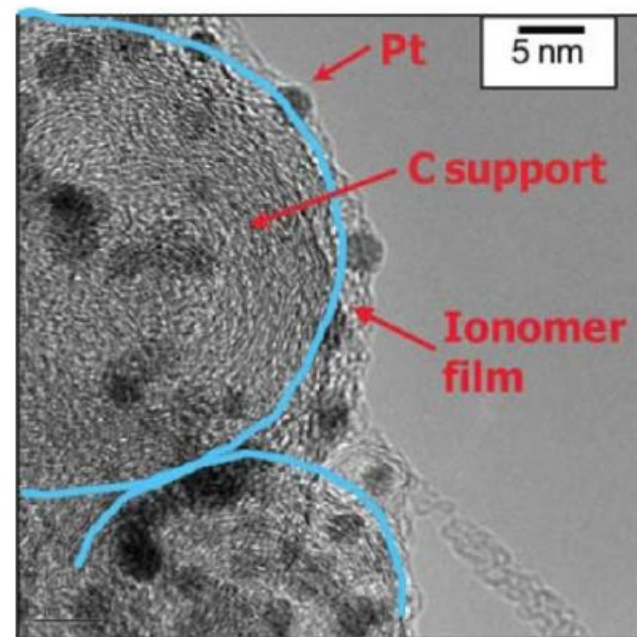
$$f_i(x, y, t + \Delta t) = f_i(x, y, t) \left[ 1 - \frac{\Delta t}{\tau} \right] + \frac{\Delta t}{\tau} f_i^{eq}(x, y, t) \quad (3)$$

$$f_i(x + \Delta x, y + \Delta y, t + \Delta t) = f_i(x, y, t + \Delta t) \quad (4)$$

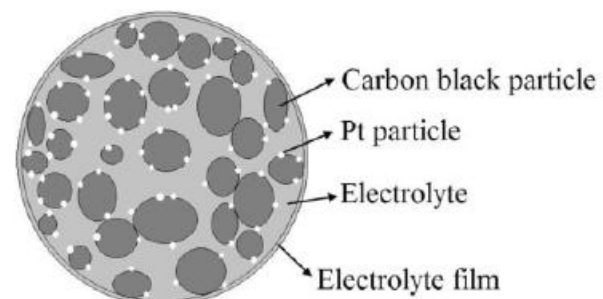
جهت حل معادله (۱) در یک شبکه، لازم است که علاوه بر استفاده از دو فرایند فوق، مقادیر  $\vec{r}$  بر روی مرزها مشخص باشند. یکی از شرایط مرزی ساده و کارا که از آن جهت شبیه‌سازی دیوار فاقد لغزش استفاده می‌شود شرط مرزی عقب‌جست<sup>۱</sup> می‌باشد. این شرط مبتنی بر این ایده است که ذرات برخورد کننده به یک دیوار فاقد لغزش در جهت معکوس باز می‌شوند [۱۵]. در واقع، این شرط است که به روش شبکه-بولتزمن این توانایی را می‌بخشد که جریان در محیط‌های با هندسه پیچیده را به راحتی مدل کند. اگرچه جهت اعمال این شرط مرزی روش‌های مختلفی ارائه شده است [۱۶]، روش میان‌راه بیشتر مورد استفاده قرار می‌گیرد.

۲-۲- مدل جریان تک‌فازی شامل چند گونه شیمیایی به طور کلی جهت مدل نمودن جریان تک‌فازی شامل چند گونه شیمیایی دو رویکرد کلی فعال و غیر فعال وجود دارد. در رویکرد غیر فعال یکی از گونه‌ها که غلظت بیشتری دارد، به عنوان حل‌کننده در نظر گرفته می‌شود و معادله جریان سیال تنها برای آن گونه حل می‌شود. توزیع چگالی سایر گونه‌ها (حل‌شونده‌ها) از حل معادله غلظت (که معادله‌ای از نوع نفوذ-چاهه‌جایی می‌باشد) برای آن گونه‌ها، به دست می‌آید. در مقابل، در رویکرد فعال معادله جریان سیال برای تمامی گونه‌ها به طور مجزا حل می‌شود.

<sup>۱</sup>Bounce-Back



(الف)



(ب)

Fig. 1. An Agglomerate consists of carbon particles, nano-Pt particles and electrolyte. (a) Real image [20], (b) Schematic view.

شکل ۱: توده شامل ذرات کربن، تانو ذرات پلاتین و الکتروولیت.  
(الف) تصویر واقعی [۲۰]، (ب) شکل شماتیک

## ۲- روش عددی

### ۲-۱- چارچوب روش شبکه-بولتزمن

روش شبکه-بولتزمن از جمله روش‌های عددی نسبتاً نوینی است که از مزایای متعددی نظریه قابلیت مدل نمودن جریان در هندسه‌های پیچیده، قابلیت مدل نمودن جریان چندفاز بدون نیاز به جستجو جهت یافتن محل دقیق مرز فازها و قابلیت بالای موادی ساختن الگوریتم پردازش به دلیل خطی بودن معادله بولتزمن (بر خلاف معادله ناویر استوکس) برخوردار است. علاوه بر این، در این روش نیازی به حل معادله لاپلاس در هر گام زمانی جهت ارزای معادله پیوستگی برای جریان گذرای تراکم‌ناپذیر نمی‌باشد. همه این موارد موجب افزایش روزافزون تمایل محققان به استفاده از این روش شده است.

روش شبکه-بولتزمن گرفته شده کارگرفته شده در این پژوهش مبتنی

توزيع چگالی ناحیه مجاور در مرز که مقادیری معلوم هستند، به دست آورد.

### ۳- ارائه و راستی آزمایی مدل توده‌ای لایه کاتالیست

#### ۳-۱- فرایندهای در نظر گرفته شده

در مدل ارائه شده در این پژوهش، لایه کاتالیست به صورت ماتریسی از توده‌های استوانه‌ای در نظر گرفته شده است. اکسیژن موجود در فضای حفره‌ای بین توده‌ها لازم است که از لایه الکتروولیت اطراف توده‌ها و نیز الکتروولیت موجود در توده (شکل ۱) عبور کند تا بتواند خود را به سایت‌های واکنشی برساند. همچنین آب تولید شده در سایت‌های واکنشی باید از الکتروولیت موجود در توده و نیز لایه الکتروولیت اطراف آن عبور کند تا خود را به فضای حفره‌ای بین توده‌ها برساند. به این ترتیب فرایندهای اساسی که در مدل ارائه شده در این فصل در نظر گرفته شده‌اند، عبارتند از:

۱. نفوذ گونه‌های شیمیایی از کanal جریان گاز به فضای حفره‌ای لایه نفوذ گاز و بر عکس.
۲. نفوذ گونه‌های شیمیایی از فضای حفره‌ای لایه نفوذ گاز به فضای حفره‌ای لایه کاتالیست و بر عکس.
۳. انحلال اکسیژن نفوذکرده به فضای حفره‌ای لایه کاتالیست به درون لایه الکتروولیت در مرز بین آنها.
۴. نفوذ اکسیژن حل شده درون لایه الکتروولیت به سمت سطح توده.
۵. نفوذ اکسیژن حل شده درون توده به سمت سایت‌های واکنشی.
۶. انتقال پروتون درون فاز الکتروولیت؛ از آنجا که انتقال الکترون در مقابل انتقال پروتون یک عامل محدودکننده در واکنش کاهش اکسیژن محسوب نمی‌شود [۲۰]، انتقال الکترون در این مدل در نظر گرفته نمی‌شود.
۷. واکنش کاهش الکتروشیمیایی اکسیژن بر روی سایت‌های واکنشی.
۸. نفوذ آب تولیدی در سایت‌های واکنشی درون توده به سمت سطح توده.
۹. نفوذ آب تولیدی از سطح توده به سمت مرز بین لایه الکتروولیت و فضای حفره‌ای بین توده‌ها.
۱۰. تبخیر آب از سطح مرز مذکور به فضای حفره‌ای بین توده‌ها.

تمامی فرایندهای فوق در یکی از پنج ناحیه مختلف یا مرز آنها رخ می‌دهد. پنج ناحیه مذکور عبارتند از کanal جریان گاز، فضای حفره‌ای لایه نفوذ گاز، فضای حفره‌ای لایه کاتالیست (این سه ناحیه که همگی شامل تنها فاز گاز می‌باشند، در ادامه مقاله، ناحیه حفره نامیده می‌شوند)، لایه الکتروولیت و توده.

جهت کاهش هزینه محاسباتی در شبیه‌سازی ناحیه توده، از ضریب کارآیی استفاده می‌شود. به کمک این ضریب می‌توان فرض نمود که چگالی اکسیژن در سطح ذرات پلاتین برابر چگالی اکسیژن بر روی سطح بیرونی توده می‌باشد. همچنین به کمک ضریب کارآیی و با استفاده از نسبت سطح

اگرچه هزینه محاسباتی رویکرد غیرفعال کمتر است، لیکن دقت آن نیز کمتر می‌باشد. این افت دقت در موقعی که غلظت گونه‌ها با یکدیگر قابل مقایسه باشد و نتوان یک گونه را حل کننده فرض نمود، شدیدتر می‌باشد.

یکی از راه‌های آسان مدل نمودن جریان سیال تک‌فازی شامل چند گونه شیمیایی با رویکرد غعال و بروش شبکه-بولتزمن، کاهش تعداد فازهای یک مدل جریان سیال چندفازی شامل چند گونه شیمیایی به یک فاز می‌باشد. تا کنون مدل‌های چندفازی شبکه-بولتزمن متعددی ارائه شده‌اند [۱۷-۱۹] که مدل شان و چن [۱۸] به دلیل سادگی بیشتر مورد توجه بوده است. در این بررسی نیز مدل چندفازی شان و چن با برابر صفر قرار دادن نیروهای بین فازی مورد استفاده قرار گرفته است.

بدین ترتیب، لازم است که معادلات (۳) و (۴) برای تمامی گونه‌های شیمیایی موجود در جریان تک‌فازی حل شوند. لذا از این به بعد با  $\vec{u}^k$  سروکار خواهیم داشت که بالا نویس  $\vec{n}$  نشان دهنده گونه شیمیایی  $k$ ام است. طبق مدل تک‌فازی شان و چن، معادلات (۳) و (۴) باید برای تمامی گونه‌ها حل شود. لیکن جهت در نظر گرفتن برهم کنش بین گونه‌ها، در معادله مربوط به تعریفتابع توزیع چگالی تعادلی یا همان معادله (۲)، به جای سرعت  $(\vec{u})$  از سرعت ترکیبی  $(\vec{u}^k)$  استفاده می‌شود که سرعت ترکیبی به صورت زیر تعریف می‌شود:

$$\vec{u}' = \frac{\sum_k \frac{1}{\tau^k} \sum_i f_i^k \vec{c}_i}{\sum_k \frac{1}{\tau^k}} \quad (5)$$

که  $f_i^k = \sum_m \vec{f}_i^m$  چگالی گونه شیمیایی  $k$ ام و  $\tau^k$  زمان آرامش گونه مذکور می‌باشد. زمان آرامش گونه  $k$ ام تابعی از لزجت سینماتیک آن  $(\vec{u}^k)$  طبق رابطه  $\tau^{k+1}/2 = 3\tau^k$  می‌باشد.

۲-۳- مدل پخش حل شونده در محلول  
پخش (دیفیوژن) یک گونه شیمیایی حل شونده در یک محلول (نظیر انحلال اکسیژن در نفیون) به راحتی توسط روش شبکه-بولتزمن قابل انجام است. بدین منظور کافی است تابع توزیع چگالی تعادلی به صورت رابطه (۶) تعریف شود.

$$f_i^{eq} = w_i \rho [1 + 0 + 0 + 0] = w_i \rho \quad (6)$$

۴- روش شبکه-بولتزمن چندمقیاسی  
بسیاری از پدیده‌های فیزیکی مانند شوک، لایه مرزی پدیده‌های شامل چند مقیاس طولی مختلف اند که این امر نشان دهنده اهمیت مدل‌های چندمقیاسی می‌باشد. به دلیل ماهیت ذره‌ای روش شبکه بولتزمن، هنگامی که مرز دو ناحیه با مقیاس طولی مختلف خط راست باشد، استفاده از مدل چندمقیاسی به کمک روش شبکه بولتزمن بسیار ساده خواهد بود. بدین منظور کافی است توابع توزیع چگالی مجھول یک ناحیه در مرز را با میان‌بابی توابع

پارامتر	مقدار
$H^\circ$	ثابت هنری نیتروژن، $0.3125 \text{ atm m}^3 \text{ mol}^{-1}$ [۲۴]
$\rho_{\text{gas}}$	چگالی مرتع اکسیژن، $0.075 \text{ kg m}^{-3}$ [۲۲]
$\rho_{\text{gas}}$	چگالی جریان الکتریکی مرتع، $0.075 \text{ kg m}^{-3}$ [۲۲]
$a_c$	ضریب انتقال کاتد، $1.5 \times 10^{-3} \text{ A cm}^{-2}$ [۲۲] ( $V_{cell} < 0.18 \text{ V}$ )
$a_c$	$3.85 \times 10^{-3} \text{ A cm}^{-2}$ [۲۲] ( $V_{cell} \geq 0.18 \text{ V}$ )
$\alpha_{\text{cell}}$	حریم انتقال کاتد، $0.61$ [۲۲] ( $V_{cell} < 0.18 \text{ V}$ ) $0.10$ [۲۲] ( $V_{cell} \geq 0.18 \text{ V}$ )
$r_p$	شعاع ذرات پلاتین، $2.5 \text{ nm}$
$P_{\text{gas}}$	چگالی ذرات پلاتین، $21450 \text{ kg m}^{-3}$ [۲]
$e_{\text{cell}}$	پلاتین به کاررفته در لایه کاتالیست
$e_{\text{egg}}$	كسر نفیون درون توده، $0.5$ [۲۶]
$e_{\text{egg}}$	كسر سطح موثر ذرات پلاتین، $0.75$ [۲۶]
$r_{\text{egg}}$	شعاع توده، $2.5 \mu\text{m}$
$\delta_{\text{cell}}$	خصامت لایه الکتروولیت، $170 \text{ nm}$ [۲۷]

### ۳-۳- مدل فرایندهای لایه الکتروولیت

فرایندهای رخ دهنده درون لایه الکتروولیت یا نفوذ گونه های شیمیایی و یا انتقال پروتون می باشند. جهت مدل نمودن نفوذ گونه های شیمیایی که یک معادله نفوذ ساده می باشد، از روش شبکه-بولتزمن (مراجعه شود به بخش ۳-۲) استفاده می شود. جهت ارتباط دادن ضریب نفوذ گونه ها با زمان های آسایش آنها از رابطه زیر استفاده می شود [۱۶]:

$$\tau^k = 0.5 + 3D^{LB,k} \quad (V)$$

در این رابطه  $D^{LB,k}$  ضریب نفوذ گونه  $k$  بر حسب واحد های شبکه-بولتزمن می باشد که از طریق رابطه  $D^{LB,k} = D_N^k \Delta t / (\Delta x)^2$  قابل محاسبه است. در این رابطه  $D_N^k$  ضریب نفوذ گونه  $k$  درون نفیون (ماده الکتروولیت) و  $\Delta t$  و  $\Delta x$  گام های زمانی و مکانی می باشند. ضریب نفوذ گونه های اکسیژن و نیتروژن درون نفیون در جدول ۱ ارائه شده اند. ضریب نفوذ آب درون نفیون از طریق رابطه پیشنهادی توسط موتوبالی و همکاران [۲۸] به دست می آید. رابطه پیشنهادی ایشان بدین قرار است:

مؤثر توده (نسبت مساحت سطح بیرونی یک توده به مجموع مساحت سطوح ذرات پلاتینی درون آن) می توان فرض نمود که توده ها استوانه هایی صلب با سطح بیرونی واکنش پذیر هستند که واکنش پذیری آنها مضرب معینی از واکنش پذیری یک سطح پلاتینی خالص می باشد. به این ترتیب دیگر لازم نیست که فرایندهای شماره ۵ و ۸ در مدل لایه کاتالیست به صورت مستقیم در نظر گرفته شوند.

فرایندهای شماره ۱ و ۲ در ناحیه حفره رخ می دهند و فرایندهای شماره ۴، ۶ و ۹ در لایه الکتروولیت اتفاق افتاده و فرایندهای شماره ۳ و ۱۰ در مرز این دو ناحیه رخ می دهند. در نهایت فرایند شماره ۷ بر روی سطح بیرونی توده رخ می دهد. مقادیر تمامی پارامترهای به کاررفته در مدل ارائه شده در جدول ۱ بیان شده اند.

### ۳-۲- مدل فرایندهای فضای حفره

در فضای حفره کاتد یک پیل سوختی پلیمری جریان گاز شامل گونه های بخار آب، اکسیژن و نیتروژن جریان دارد. این جریان توسط رویکرد فعل تشرییغ شده در بخش ۲-۲ مدل می شود. همان گونه که ذکر شد، ناحیه حفره متiskل از سه ناحیه به هم متصل کانال جریان گاز، فضای حفره ای لایه نفوذ گاز و فضای حفره ای لایه کاتالیست می باشد. بدیهی است که طول مشخصه این سه ناحیه با یکدیگر متفاوت است. لذا از روش مدل نمودن چندمقیاسی ارائه شده در بخش ۴-۲ با هدف کاهش هزینه محاسباتی شبیه سازی جریان تک فازی شامل چند گونه شیمیایی در ناحیه حفره استفاده شده است.

جدول ۱: مقادیر پارامترهای فیزیکی به کاررفته در مدل توده ای

Table 1. Values of physical parameters used in the agglomerate model

پارامتر	مقدار
$T$	دمای عملکرد، $353 \text{ K}$
$P$	فشار عملکرد، $1/5 \text{ atm}$
$\mu^{\text{O}_2}$	لزجت دینامیکی اکسیژن، $2.34 \times 10^{-4} \text{ kg m}^{-1} \text{ s}^{-1}$ [۲۱]
$\mu^{\text{N}_2}$	لزجت دینامیکی نیتروژن، $2.01 \times 10^{-4} \text{ kg m}^{-1} \text{ s}^{-1}$ [۲۱]
$\mu^{\text{H}_2\text{O}}$	لزجت دینامیکی بخار آب، $1.20 \times 10^{-4} \text{ kg m}^{-1} \text{ s}^{-1}$ [۲۱]
$D_N^{\text{O}_2}$	ضریب نفوذ اکسیژن در نفیون، $8.45 \times 10^{-11} \text{ m}^2 \text{ s}^{-1}$ [۲۲]
$D_N^{\text{N}_2}$	ضریب نفوذ نیتروژن در نفیون، $8.45 \times 10^{-11} \text{ m}^2 \text{ s}^{-1}$ [۲۲]
$E_{00}$	پتانسیل الکتریکی مدار باز، $1/1716160 \text{ V}$ [۲]
$V_{cell}$	پتانسیل الکتریکی عملکردی سلول، $0.6 \text{ V}$
$EW$	جرم مولی معادل نفیون، $1100 \text{ kg kmol}^{-1}$
$\rho^{DN}$	چگالی نفیون خشک، $1920 \text{ kg m}^{-3}$ [۲۳]
$H^\circ$	ثابت هنری اکسیژن، $0.3125 \text{ atm m}^3 \text{ mol}^{-1}$ [۲۴]

## ۳-۴- مدل فرایندهای مرز بین ناحیه حفره و لایه الکترولیت

در مرز بین ناحیه حفره و لایه الکترولیت چگالی گونه‌های شیمیایی در فاز گاز و فاز الکترولیت در حال تعادل می‌باشند. از آنجا که چگالی اکسیژن و نیتروژن در فاز الکترولیت اندک است، از قانون هنری جهت بیان تعادل بین فاز گاز و فاز الکترولیت می‌توان استفاده نمود. این قانون بیان می‌دارد که:

$$\rho_{if,elect}^k = \frac{P_{if,gas}^k}{H^k} \quad (13)$$

در معادله فوق  $\rho_{if,elect}^k$  چگالی گونه  $k$  (در اینجا اکسیژن یا نیتروژن) در فاز الکترولیت در مرز بین ناحیه حفره و لایه الکترولیت،  $P_{if,gas}^k$  فشار جزئی گونه  $k$  در فاز گاز در مرز بین دو ناحیه مذکور و  $H^k$  ثابت هنری گونه  $k$  می‌باشد. با فرض مدل گاز ایده‌آل برای اکسیژن و نیتروژن موجود در فاز گاز،  $P_{if,gas}^k$  برابر می‌باشد با:

$$P_{if,gas}^k = \rho_{if,gas}^k R_u T \quad (14)$$

که  $\rho_{if,gas}^k$  چگالی گونه  $k$  در فاز گاز در مرز و  $R_u$  ثابت جهانی گاز می‌باشد. ادغام دو معادله (۱۳) و (۱۴) نتیجه می‌دهد که:

$$\rho_{if,elect}^k = \frac{\rho_{if,gas}^k}{H^{k,LB}} \quad (15)$$

که  $H^{k,LB}$  یک ضریب بی بعد برابر با  $H^k/R_u T$  می‌باشد. حال سوال اصلی اینجا است که آیا رابطه مشابهی بین توابع توزیع چگالی مجهول در دو فاز گاز و الکترولیت برقرار می‌باشد؟ به عنوان مثال برای مرز افقی نشان داده شده در شکل ۲ که ناحیه بالا و پایین آن به ترتیب در فاز گاز و فاز الکترولیت می‌باشد، چگونه می‌توان  $f_1, f_2, f_3, f_4, f_5$  و  $f_6$  را به نحوی یافت که قانون هنری برقرار باشد؟ در اینجا تابع توزیع چگالی گونه  $k$  در فاز گاز می‌باشد. به طور مشابه چگونه می‌توان  $g_1, g_2, g_3, g_4, g_5$  و  $g_6$  را به نحوی تعیین نمود که قانون هنری برقرار باشد؟ در اینجا تابع توزیع چگالی گونه  $k$  در فاز الکترولیت می‌باشد.

در ادامه این قسمت روند استخراج  $f_i$  و  $g_i$  شرح داده می‌شود.

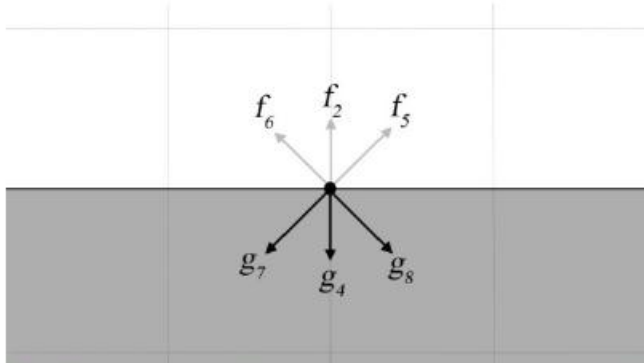


Fig. 2. Unknown density distribution functions in the gas phase ( $f_1, f_2, f_3, f_4, f_5, f_6$ ) and electrolyte phase ( $g_1, g_2, g_3, g_4, g_5, g_6, g_7, g_8$ ) on the interface of phases.

شکل ۲: توابع توزیع چگالی مجهول در فاز گاز ( $f_1, f_2, f_3, f_4, f_5, f_6$ ) و توابع توزیع چگالی مجهول در فاز الکترولیت ( $g_1, g_2, g_3, g_4, g_5, g_6, g_7, g_8$ ) در مرز دو فاز

$$D_N^w = 3.10 \times 10^{-3} \lambda (-1 + \exp(0.28\lambda)) \exp\left[\frac{-2436}{T}\right] \quad \text{for } 0 < \lambda < 3 \quad (A)$$

$$D_N^w = 4.17 \times 10^{-4} \lambda (1 + 161 \exp(-\lambda)) \exp\left[\frac{-2436}{T}\right] \quad \text{for } 3 < \lambda < 14$$

در رابطه فوق  $T$  دما بر حسب کلوین و  $\lambda$  میزان آب لایه الکترولیت بر حسب مول آب بر مول سایت‌های اسید سولفونیک می‌باشد. میزان آب در لایه الکترولیت را می‌توان به کمک چگالی آب درون لایه الکترولیت ( $\rho_{elect}^w$ ) از طریق رابطه زیر محاسبه نمود:

$$\lambda = \frac{\rho_{elect}^w E W}{\rho^{DN} M W^w} \quad (9)$$

در رابطه (۹)،  $M W^w$  جرم مولی آب،  $\rho^{DN}$  چگالی نفیون خشک و  $E W$  جرم مولی معادل نفیون (کیلوگرم نفیون بر تعداد مول سایت‌های اسید سولفونیک آن) می‌باشد که مقادیر آنها در جدول ۱ ارائه شده است.

شایان ذکر است که اگرچه حل تحلیلی برای معادله نفوذ گونه‌های شیمیایی درون لایه نازک الکترولیت اطراف یک استوانه (توده) موجود است، در مدل ارائه شده در این مقاله به حل عددی این معادله به کمک روش شبکه-بولتزمن پرداخته می‌شود. چرا که در آرایش‌های واقعی توده‌ها شکل لایه الکترولیت ممکن است بسیار پیچیده‌تر از یک لایه نازک با ضخامت یکنواخت باشد تا بتوان برای آن حل تحلیلی یافت.

جهت مدل نمودن انتقال پروتون درون لایه الکترولیت، از روش تفاضل محدود جهت حل معادله زیر استفاده می‌شود:

$$\nabla \cdot (\sigma \nabla \varphi) = 0 \quad (10)$$

که در معادله فوق  $\varphi$  پتانسیل الکتریکی محلی و  $\sigma$  ضریب رسانایی پروتون محلی است که با معلوم بودن میزان آب به صورت زیر قابل محاسبه است [۲۹].

$$\sigma = 100 (0.005139\lambda - 0.00326) \exp\left[1268\left(\frac{1}{303} - \frac{1}{T}\right)\right] \quad (11)$$

پس از اعمال روش تفاضل محدود، معادله گستته‌سازی شده زیر حاصل می‌شود:

$$\varphi_{p,q} = \frac{a_e \varphi_{p+1,q} + a_w \varphi_{p-1,q} + a_n \varphi_{p,q+1} + a_s \varphi_{p,q-1}}{a_e + a_w + a_n + a_s} \quad (12)$$

که برای گره‌های داخلی شبکه، ضرایب موجود در معادله فوق  $a_n = (\sigma_{p,q+1} + \sigma_{p,q})/2$   $a_w = (\sigma_{p-1,q} + \sigma_{p,q})/2$   $a_e = (\sigma_{p+1,q} + \sigma_{p,q})/2$  و  $a_s = (\sigma_{p,q-1} + \sigma_{p,q})/2$  می‌باشد. با محاسبه  $a_e$  و  $a_s$  یک دستگاه معادلات جبری به دست می‌آید که با روش‌های تکرارشونده قابل محاسبه است. در این پژوهش از روش فراسایش پیش‌رونده [۳۰] جهت حل دستگاه معادلات مذکور استفاده می‌شود.

$$g_4^k = g_2^k - w_2 \rho_{if,elect}^k + \frac{w_4 \rho_{if,gas}^k}{H^{k,LB}} \quad (23)$$

جهت راستی آزمایی روند بیان شده فوق در محاسبه توابع توزیع چگالی مجهول در مرز از یک آزمایش ساده استفاده می‌شود. در این آزمایش یک لایه نازک الکتروولیت بر روی یک صفحه افقی قرار داده می‌شود. جریان گاز به آرامی (با سرعتی کمتر از  $100\text{ cm/s}$ ) بر روی سطح لایه الکتروولیت حرکت می‌کند. با در نظر گرفتن مقدار  $H^{k,LB}$  برابر با  $10/0$  (که از مرتبه  $H^{k,LB}$  واقعی می‌باشد) و با انجام شبیه‌سازی حرکت آرام گاز بر روی لایه الکتروولیت بهروش شبکه-بولتزمن و بر اساس روند ارائه شده، نسبت چگالی در فاز گاز به چگالی در فاز الکتروولیت محاسبه و در شکل ۳ ارائه شده است. همان‌گونه که در این شکل دیده می‌شود، بیشینه خطای تسبی نتایج نسبت به مقدار از پیش در نظر گرفته شده ( $10/0$ ) برابر با  $25/0$  درصد می‌باشد که حاکی از دقت کافی روند ارائه شده در این بخش می‌باشد. با این وجود روند فوق تنها برای گونه‌های اکسیژن و نیتروژن قابل اعمال می‌باشد، چرا که قانون هنری برای گونه آب به دلیل چگالی بالای آب در لایه الکتروولیت برقرار نمی‌باشد.

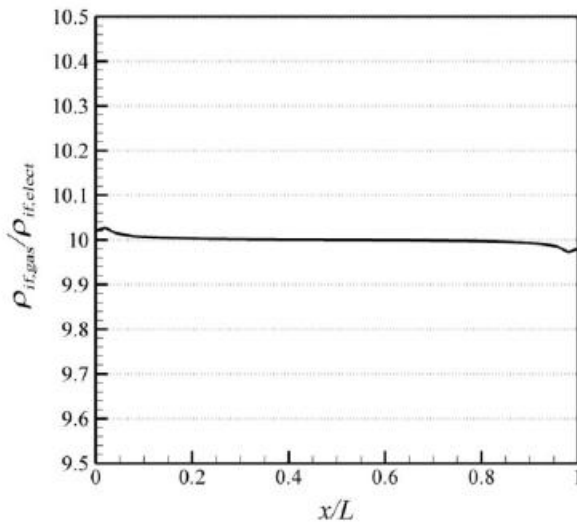


Fig. 3. The ratio of gas phase density to electrolyte phase density on their interfaces for  $H^{k,LB}=0.1$  from the proposed method.

شکل ۳: نسبت چگالی در فاز گاز به چگالی در فاز الکتروولیت در مرز بین دو فاز، حاصل از شبیه‌سازی به کمک روند ارائه شده برای وفتی که  $H^{LB}=10/0$

در این تحقیق جهت محاسبه توابع توزیع چگالی مجهول آب در مرز ناحیه حفره و لایه الکتروولیت، به عنوان مثال  $\rho_{if,gas}^k$  و  $\rho_{if,elect}^k$ ، روش نوینی ابداع و به کار گرفته شده است. در ادامه این بخش به شرح این روش پرداخته می‌شود. در معادله (۹) ارتباط بین میزان آب و  $\rho_{if,elect}^k$  بیان شده است. اگر رابطه مشابهی بین میزان آب و  $\rho_{if,gas}^k$  وجود داشته باشد، می‌توان به ارتباط بین  $\rho_{if,gas}^k$  و  $\rho_{if,elect}^k$  دست یافت. زاویه‌نیسکی و همکاران [۳۱] نشان دادند که:

$$\lambda = 0.043 + 17.81RH - 39.85RH^2 + 36.0RH^3 \quad (24)$$

برای یافتن سایر توابع توزیع چگالی مجهول می‌توان از روند مشابهی استفاده نمود، با توجه به بخش ۱-۲ و ۲-۲:

$$f_2^{k,eq} = w_2 \rho_{if,gas}^k \left[ 1 + \frac{\vec{c}_i \cdot \vec{x}l'}{c_i^2} + \frac{1}{2} \frac{(\vec{c}_i \cdot \vec{x}l')^2}{c_i^4} - \frac{1}{2} \frac{l' \cdot l'}{c_i^2} \right] \quad (16)$$

که در رابطه (۱۶) عبارت درون کروشه در نزدیکی مرز بین دو ناحیه به خاطر شرایط عدم لغزش در مرز، تقریباً برابر با یک می‌باشد. از سوی دیگر با توجه به بخش ۳-۲ می‌توان نتیجه گرفت که:

$$g_2^{k,eq} = w_2 \rho_{if,elect}^k \quad (17)$$

با تقسیم دو معادله (۱۶) و (۱۷) بر یکدیگر نتیجه می‌شود که:

$$\frac{f_2^{k,eq}}{g_2^{k,eq}} = \frac{\rho_{if,gas}^k}{\rho_{if,elect}^k} = H^{k,LB} \quad (18)$$

به کمک ایده روش عقب‌جست در مورد بخش غیر تعادلی توابع توزیع چگالی (این ایده حاکی از آن است که بخش‌های غیر تعادلی توابع توزیع چگالی در دو جهت خلاف یکدیگر بر روی یک دیوار ساکن مثل مرز بین ناحیه حفره و لایه الکتروولیت با یکدیگر برابر می‌باشند) می‌توان نتیجه گرفت که  $f_i^{k,neq} = f_i^{k,eq}$  و  $f_2^{k,neq} = f_2^{k,eq}$  می‌باشد. بنابراین

سمت چپ معادله (۱۸) را می‌توان به صورت زیر بازنویسی نمود:

$$\begin{aligned} \frac{f_2^{k,eq}}{g_2^{k,eq}} &= \frac{f_2^k - f_2^{k,neq}}{g_2^{k,eq}} = \frac{f_2^k - f_4^{k,neq}}{g_2^{k,eq}} = \\ &\frac{f_2^k - (f_4^k - f_4^{k,eq})}{g_2^{k,eq}} \end{aligned} \quad (19)$$

جاگزینی معادله فوق در معادله (۱۸) و انجام عملیات جبری نتیجه می‌دهد که:

$$f_2^k = f_4^k - w_4 \rho_{if,gas}^k + w_2 \rho_{if,elect}^k H^{k,LB} \quad (20)$$

حال تمامی عبارت‌های سمت راست معادله فوق معلوم هستند و بنابراین  $f_2^k$  را می‌توان محاسبه نمود.

$g_4^k$  را بهروش مشابهی می‌توان محاسبه نمود. بدین منظور، مشابه رابطه (۱۸) از رابطه زیر می‌توان شروع نمود:

$$\frac{f_4^{k,eq}}{g_4^{k,eq}} = \frac{\rho_{if,gas}^k}{\rho_{if,elect}^k} = H^{k,LB} \quad (21)$$

از آنجا که  $f_4^{k,neq} = g_4^{k,neq}$ ، سمت چپ معادله فوق را به صورت زیر می‌توان بازنویسی نمود:

$$\begin{aligned} \frac{f_4^{k,eq}}{g_4^{k,eq}} &= \frac{f_4^{k,eq}}{g_4^k - g_4^{k,neq}} = \frac{f_4^{k,eq}}{g_4^k - g_2^{k,eq}} = \\ &\frac{f_4^{k,eq}}{g_4^k - (g_2^k - g_2^{k,eq})} \end{aligned} \quad (22)$$

قرار دادن معادله فوق در معادله (۲۱) نتیجه می‌دهد که:

## مشاهده یافت.

جهت راستی آزمایی روند ارائه شده فوق برای محاسبه توابع توزیع چگالی مجهول آب در مرز، از یک آزمایش عددی ساده می‌توان استفاده نمود. در این آزمایش، یک لایه نازک الکتروولیت بر روی یک صفحه افقی قرار داده می‌شود. بخار آب به آرامی و با سرعتی کمتر از  $100\text{ m/s}$  بر روی سطح لایه الکتروولیت حرکت می‌کند. پس از شبیه‌سازی جریان به کمک روش شبکه-بولتزمن و بر اساس روند ارائه شده فوق، مقادیر  $\rho_{if,elect}^w$  و  $\rho_{if,gas}^w$  معین می‌شوند. سپس مقدار میزان آب بر روی سطح الکتروولیت بر اساس  $\rho_{if,gas}^w$  و از طریق معادله (۲۵) مشخص می‌شود. همچنین میزان آب بر روی سطح الکتروولیت بر اساس  $\rho_{if,elect}^w$  و از طریق معادله (۹) مشخص می‌شود و نسبت آنها محاسبه و در شکل ۴ ترسیم می‌شود. همان گونه که در این شکل مشاهده می‌شود، بیشینه تفاوت مقدار محاسبه و ترسیم شده با مقدار واقعی ( $10\%$ ) تنها  $0.15\%$  درصد است که حاکی از دقت بالای روند ارائه شده می‌باشد.

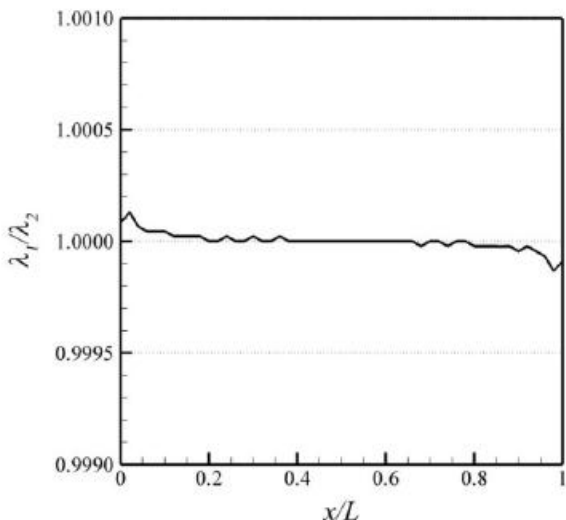


Fig. 4. The ratio of water content based on gas phase water density to water content based on electrolyte phase water density on their interfaces from the proposed method.

شکل ۴: نسبت میزان آب محاسبه شده بر اساس چگالی آب در فاز گاز به میزان آب محاسبه شده بر اساس چگالی آب در فاز الکتروولیت در مرز بین دو فاز حاصل از شبیه‌سازی به کمک روند ارائه شده

## ۳-۵- مدل فرایندهای سطح توده

همان گونه که قبلاً در بخش ۱-۳ اشاره شد، با کاربرد ضریب کارآیی و نسبت سطح مؤثر توده این امکان حاصل می‌شود که بتوان توده‌ها را به صورت استوانه‌هایی صلب با سطح بیرونی واکنش پذیر در نظر گرفت که واکنش کاهش اکسیژن بر روی سطح بیرونی آنها به صورت زیر رخ می‌دهد:

$$O_2 + 4H^+ + 4e^- \rightarrow 2H_2O \quad (31)$$

رخ واکنش فوق بر واحد سطح،  $w$  تناسب مستقیم با چگالی جریان الکتریکی،  $j$ ، از طریق رابطه  $F=jF=wr$  دارد که  $F$  در این رابطه ثابت فارادی

در رابطه فوق  $RH$  رطوبت نسبی در مرز می‌باشد که برابر است با  $P^{RH}$  و  $P^{sat}$  به ترتیب فشار جزئی بخار آب در مرز و فشار اشباع آب می‌باشد. از آنجا که جریان گاز همدمًا فرض شده است، ثابت  $P^{sat}$  باشد. همچنین با فرض مدل گاز ایده‌آل برای بخار آب،  $P^{RH}$  برابر است با  $P_{if,gas}^w R_u T / P^{sat}$ . جایگزینی این رابطه در معادله (۲۴) نتیجه می‌دهد که:

$$\lambda = a_0 + a_1 \rho_{if,gas}^w + a_2 (\rho_{if,gas}^w)^2 + a_3 (\rho_{if,gas}^w)^3 \quad (25)$$

که  $a_0$ ،  $a_1$  و  $a_2$  ضرایب معلوم و به ترتیب برابر با  $0.043$ ،  $(R_u T / P^{sat})^2 - 39/85$  و  $17/81(R_u T / P^{sat})^3$  می‌باشد. با برابر هم قرار دادن سمت راست معادلات (۹) و (۲۵)، معادله زیر نتیجه می‌شود:

$$b \rho_{if,elect}^w = a_0 + a_1 \rho_{if,gas}^w + a_2 (\rho_{if,gas}^w)^2 + a_3 (\rho_{if,gas}^w)^3 \quad (26)$$

که  $b$  یک ثابت معلوم و برابر با  $EW/(Mw^w \rho^{DN})$  می‌باشد. از معادله فوق می‌توان جهت محاسبه توابع توزیع چگالی مجهول آب (به عنوان مقاله ۲ در شکل ۲) استفاده نمود. با درنظر گرفتن ایده روش عقب جست در برابر هم قرار دادن بخش‌های غیر تعادلی توابع توزیع چگالی در جهت متقابل و با در نظر گرفتن اینکه در نزدیکی مرز تاحدی حفره و لایه الکتروولیت سرعت جریان گاز تقریباً برابر با صفر است، می‌توان نوشت:

$$\begin{aligned} \rho_{if,gas}^w &= \frac{f_2^{w,eq}}{w_2} = \frac{f_2^w - f_2^{w,neq}}{w_2} = \\ \frac{f_2^w - f_4^{w,neq}}{w_2} &= \frac{f_2^w - (f_4^w - f_4^{w,eq})}{w_2} \end{aligned} \quad (27)$$

جایگزینی معادله فوق در معادله (۲۴) نتیجه می‌دهد که:

$$b \rho_{if,elect}^w = c_0 + c_1 f_2^w + c_2 (f_2^w)^2 + c_3 (f_2^w)^3 \quad (28)$$

که  $c_0$ ،  $c_1$  و  $c_3$  ثابت‌هایی معلوم اند. جهت یافتن مقدار تابع توزیع چگالی مجهول در فاز گاز،  $f_2^w$ ، معادله فوق را می‌توان با یک الگوریتم ریشه‌یابی حل نمود. در این پژوهش از روش سکانت [۳۰] جهت یافتن جواب معادله فوق استفاده می‌شود.

جهت یافتن  $f_2^w$  از روش مشابهی به صورت زیر می‌توان استفاده نمود:

$$\begin{aligned} \rho_{if,elect}^w &= \frac{g_4^{w,eq}}{w_4} = \frac{g_4^w - g_4^{w,neq}}{w_4} = \\ \frac{g_4^w - g_2^{w,neq}}{w_4} &= \frac{g_4^w - (g_2^w - g_2^{w,eq})}{w_4} \end{aligned} \quad (29)$$

جایگزینی معادله فوق در معادله (۲۶) نتیجه می‌دهد که:

$$d_0 + d_1 g_4^w = a_0 + a_1 \rho_{if,gas}^w + a_2 (\rho_{if,gas}^w)^2 + a_3 (\rho_{if,gas}^w)^3 \quad (30)$$

حال معادله خطی فوق را به راحتی می‌توان حل نمود و مقدار تابع توزیع چگالی آب در فاز الکتروولیت،  $f_2^w$ ، را یافت. سایر توابع توزیع چگالی مجهول آب در فاز الکتروولیت ( $f_5^w$  و  $f_6^w$ ) یا فاز گاز ( $g_7^w$  و  $g_8^w$ ) را می‌توان با روند

$$D_{agg}^{0,eff} = D_{N,agg}^{0,15} \quad (37)$$

که  $D_N^0$  ضریب نفوذ اکسیژن درون نفیون (ماده الکتروولیت) و  $\epsilon_{agg}$  کسر نفیون درون توده می‌باشد. پس از محاسبه  $k_{er}$  و  $E_{agg}$  در هر گره واقع بر سطح توده، از روش عقب‌جست ارائه شده توسط کمالی و همکاران [۳۳] برای شبیه‌سازی جریان تک‌فازی، واکنش‌دهنده و شامل چند گونه شیمیایی بر روی یک سطح استفاده می‌شود تا واکنش الکتروشیمیایی بر روی سطح توده مدل گردد. در ادامه این بخش نحوه به کارگیری روش ایشان به اختصار تشرییح می‌شود. کمالی و همکاران [۳۳] نشان دادند که برای یک واکنش سطحی به صورت زیر:

$$A + B + \dots \rightarrow C + D + \dots \quad (38)$$

که نسبت به  $A$  از مرتبه یک می‌باشد، لازم است ابتدا کسری از ذرات گونه  $A$  که به سطح واکنش برخورد کرده و تبدیل به محصول می‌شوند (یا همان عدد بی‌بعد  $k_{sr}^{LB}$ ) را یافت. بدینهی است که  $k_{sr}^{LB}$  کسری از ذرات گونه  $A$  می‌باشد که به سطح واکنش برخورد کرده و واکنش نمی‌دهند. ایشان نشان دادند که برای آرایش شبکه D3Q19 مقدار  $k_{sr}^{LB}$  برابر است با:

$$k_{sr}^{LB} = \left( \frac{6k_{sr}\Delta t}{\Delta x} \right) / \left( 1 + \frac{k_{sr}\Delta x}{2D_A} \right) \quad (39)$$

که در معادله فوق  $k_{sr}^{LB}$  ثابت نرخ واکنش،  $\Delta t$  به ترتیب گام‌های زمانی و مکانی و  $D_A$  ضریب نفوذ گونه  $A$  در مخلوط می‌باشد. با اعمال روند استخراج مشابه می‌توان نشان داد که رابطه (۳۹) برای آرایش شبکه D2Q9 نیز برقرار است. پس از محاسبه  $k_{sr}^{LB}$  می‌توان شرط مزدی عقب‌جست را بازیابی نمود. به عنوان مثال برای دیواره عمودی نشان داده شده در شکل ۵ که واکنش شیمیایی سطحی  $A + B + \dots \rightarrow C + E + \dots$  روی آن رخ می‌دهد، مقادیر توابع توزیع چگالی مجھول گونه  $A$  برابر می‌باشند با:

$$\begin{aligned} f_3^A &= (1 - k_{sr}^{LB})f_1^A \\ f_6^A &= (1 - k_{sr}^{LB})f_8^A \\ f_7^A &= (1 - k_{sr}^{LB})f_5^A \end{aligned} \quad (40)$$

و مقادیر توابع توزیع چگالی مجھول گونه  $C$  برابر می‌باشند با:

$$\begin{aligned} f_3^C &= \frac{MW^C}{MW^A} k_{sr}^{LB} f_1^A + f_1^C \\ f_6^C &= \frac{MW^C}{MW^A} k_{sr}^{LB} f_8^A + f_8^C \\ f_7^C &= \frac{MW^C}{MW^A} k_{sr}^{LB} f_5^A + f_5^C \end{aligned} \quad (41)$$

که در روابط فوق  $MW^C$  و  $MW^A$  به ترتیب جرم مولی گونه  $A$  و  $C$  می‌باشند.

هنگامی که سرعت واکنش سطحی بسیار زیاد باشد، تمامی جرم گونه  $A$  بر روی سطح تبدیل به محصول می‌شود و یا به عبارت دیگر چگالی گونه  $A$  بر روی سطح برابر با صفر خواهد بود. لذا با توجه به اینکه چگالی

می‌باشد. از سوی دیگر، چگالی جریان الکتریکی تابعی از چگالی اکسیژن و افت پتانسیل فعال سازی از طریق معادله باتلر-فولمر [۲۰] می‌باشد. بنابراین با فرض اینکه چگالی اکسیژن درون توده با چگالی اکسیژن بر روی سطح توده ( $\alpha_{agg}$ ) برابر است، معادله نرخ واکنش الکتروشیمیایی بر روی سطح توده را می‌توان به صورت زیر بیان نمود:

$$r'' = \frac{\alpha_{agg}^{eff} j^{ref}}{4F} \left( \frac{\rho_{as}^0}{\rho^{0,ref}} \right) \left[ \exp \left( -\frac{\alpha_c F \eta}{R_u T} \right) - \exp \left( \frac{(1 - \alpha_c) F \eta}{R_u T} \right) \right] \quad (32)$$

که  $r''$  چگالی جریان الکتریکی مرجع،  $\alpha_{agg}^{eff}$  چگالی مرجع اکسیژن،  $\rho_{as}^0$  ضریب انتقال کاتد،  $\eta$  افت پتانسیل فعالسازی کلی (که ابتدا با حل معادله پتانسیل الکتریکی φ بدست آمده و سپس با استفاده از رابطه  $\eta = V_{cell} - E_{oc}$  نسبت سطح φ افت پتانسیل فعالسازی در هر گره محاسبه می‌شود) و  $\alpha_{agg}^{eff}$  نسبت سطح مؤثر توده می‌باشد که برای توده‌های استوانه‌ای از طریق معادله زیر قابل محاسبه می‌باشد:

$$\alpha_{agg}^{eff} = \frac{S_a \rho_{agg} j_{agg}^{ref}}{2} e_{pt} \quad (33)$$

که  $e_{pt}$  کسر سطح مؤثر ذرات پلاتین،  $\rho_{agg}$  نسبت سطح توده،  $j_{agg}^{ref}$  شاعر توده،  $S_a$  نسبت پلاتین به کارگفته در لایه کاتالیست و نیز آرایش توده‌ها می‌باشد) و  $\rho_{agg}$  نسبت مساحت سطح به جرم یک ذره پلاتین (که برای یک ذره پلاتین به شاعر  $e_{pt}$  و چگالی  $\rho_{pt}$  برابر است با  $3/r_{pt} \rho_{pt}$ ) می‌باشد. معادله (۳۲) را می‌توان به صورت  $r'' = k_{sr} \rho_{as}^0$  بیان داشت که  $k_{sr}$  ثابت نرخ واکنش الکتروشیمیایی و برابر است با:

$$k_{sr} = \frac{\alpha_{agg}^{eff}}{4F} \left( \frac{j^{ref}}{\rho^{0,ref}} \right) \left[ \exp \left( -\frac{\alpha_c F \eta}{R_u T} \right) - \exp \left( \frac{(1 - \alpha_c) F \eta}{R_u T} \right) \right] \quad (34)$$

با این وجود در عمل چگالی اکسیژن درون توده کمتر از چگالی اکسیژن بر روی سطح توده است. استفاده از ضریب کارآیی یک روش معمول برای لحاظ کردن چنین اختلاف چگالی است. با استفاده از ضریب کارآیی می‌توان معادله نرخ سابق ( $r'' = E_{agg} k_{sr} \rho_{as}^0$ ) را به صورت  $r'' = k_{sr} \rho_{as}^0$  اصلاح نمود که ضریب کارآیی توده می‌باشد. این ضریب برای توده‌های استوانه‌ای به صورت زیر بیان می‌شود [۳۲]:

$$E_{agg} = \frac{2I_1(\Phi_1)}{\Phi_1 I_0(\Phi_1)} \quad (35)$$

که  $I_1$  و  $I_0$  به ترتیب توابع بسل پیراسته نوع اول از مرتبه صفر و از مرتبه یک می‌باشند و  $\Phi_1$  یک پارامتر بی‌بعد می‌باشد که به مدول تیبلز معروف است. برای توده‌های استوانه‌ای این مدول برابر است با [۳۲]:

$$\Phi_1 = r_{agg} \sqrt{\frac{k_{sr} S_a \rho_{agg}}{D_{agg}^{0,eff}}} \quad (36)$$

در رابطه فوق  $D_{agg}^{0,eff}$  ضریب نفوذ مؤثر اکسیژن درون توده می‌باشد و برابر است با:

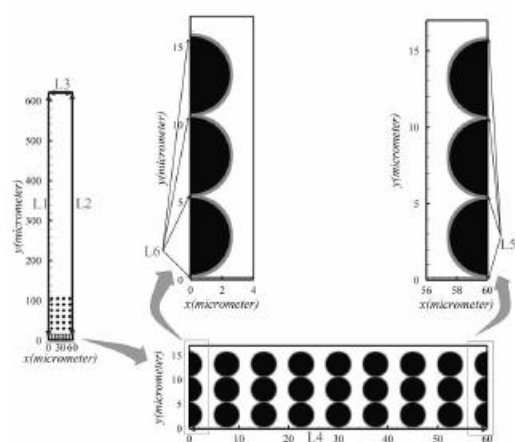


Fig. 6. Computation domain consists of catalyst layer, gas diffusion layer and gas channel (Agglomerates and their covering electrolyte film are also shown)

شکل ۶: دامنه محاسباتی شامل لایه کاتالیست، لایه نفوذ گاز و کanal جریان گاز (توده‌ها و لایه الکتروولیت) که آنها را پوشانده است نیز در شکل نشان داده شده‌اند

کربنی که به صورت استوانه‌هایی به قطر  $8 \mu\text{m}$  فرض شده‌اند، در نظر گرفته می‌شود. دو آرایش منظم و غیر منظم توده‌ها در لایه کاتالیست در نظر گرفته می‌شوند. در آرایش منظم که آرایش مبنا می‌باشد، ستون‌های شامل توده‌ها که بر روی شما قرار می‌گیرند، عیناً مشابه یکدیگر می‌باشند. هر ستون شامل سه توده به شعاع  $2/5 \mu\text{m}$  می‌باشد که خط تقاضن آن  $7/5 \mu\text{m}$  از خط تقاضن ستون مجاور فاصله دارد (شکل ۶).

آرایش نامنظم توده‌ها با تغییر شعاع و موقعیت مرکز برخی از توده‌های واقع در آرایش منظم حاصل می‌گردد. اگرچه در این پژوهش تنها این دو نوع آرایش توده شبیه سازی می‌شوند، بیان‌های واقعی‌تر از آرایش توده‌ها در لایه کاتالیست که با تصویربرداری الکترونی قابل دستیابی است را نیز می‌توان به کمک مدل ارائه شده در این فصل شبیه سازی نمود، اما هدف این مقاله نمی‌باشد.

#### ۴-۲- شرایط مرزی ناحیه حفره

همان گونه که در بخش ۱-۳ ذکر گردید، ناحیه حفره که مخلوط هوا و بخار آب در آن جریان دارد، از سه بخش تشکیل شده است: کanal جریان گاز، فضای حفره‌ای لایه نفوذ گاز و فضای حفره‌ای لایه کاتالیست. همان گونه که در شکل ۷ مشاهده می‌شود، مرزهای خارجی ناحیه حفره شامل ورودی در سمت چپ (خط L1)، خروجی در سمت راست (خط L2)، دیوار کanal در بالا (خط L3) و مرز بین این ناحیه و لایه الکتروولیت در پایین می‌باشد. در ورودی شرط مرزی فشار ثابت برای تمامی گونه‌ها بهروش ۰ و هی [۳۵] اعمال می‌گردد. بدین منظور فشار جزئی ورودی هر یک از گونه‌ها به کمک پارامترهای ورودی ارائه شده در جدول ۲ معین می‌شود. در خروجی شرط مرزی فشار کل ثابت چنان اعمال می‌شود که اختلاف فشار ثابت بین فشار کل ورودی و فشار کل خروجی برقرار باشد. با این همه، تنها فشار

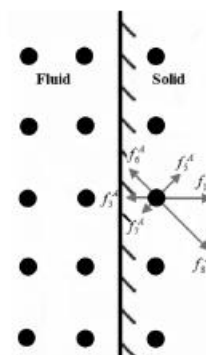


Fig. 5. A vertical wall and the way bounce-back boundary condition is to be applied.

شکل ۵: دیواره عمودی و نحوه اعمال شرط مرزی عقب‌جست

گونه A بر روی سطح برابر با  $\sum_i f_i^A$  می‌باشد و با در نظر گرفتن رابطه (۴۰) می‌توان نتیجه گرفت که در چنین حالتی  $k_{gr}^{LB}$  برابر با ۲ بوده است

$$\lim_{k_{gr} \rightarrow \infty} k_{gr}^{LB} = 2$$

به این ترتیب با توجه به رابطه (۳۹)، لازم است که گام زمانی به صورت زیر معین گردد:

$$\Delta t = \frac{\Delta x^2}{6D_i} \quad (42)$$

جهت مشاهده راستی‌آزمایی روش شبیه‌سازی جریان تک‌فازی، واکنش‌دهنده و شامل چند گونه شیمیایی بر روی یک سطح که در بالا مطرح شد، می‌توان به یکی دیگر از پژوهش‌های نویسنده‌گان [۳۴] مراجعه نمود.

در این پژوهش پس از محاسبه  $k_{er}^{LB}$  و  $E_{agg}$  با استفاده از معادلات (۳۴) و (۳۵) در هر گره واقع بر سطح توده، از روش عقب‌جست تشریح شده در فوق برای شبیه‌سازی جریان تک‌فازی، واکنش‌دهنده و شامل چند گونه شیمیایی بر روی سطح توده استفاده می‌شود.

بدین منظور ابتدا  $k_{gr}^{LB}$  از طریق معادله (۳۹) مشخص می‌شود (در اینجا  $k_{er}^{LB}$  و سپس در شرط عقب‌جست گونه‌های برخورده‌کننده به سطح توده، تغییرات لازم همان گونه که در معادلات (۴۰) و (۴۱) نشان داده شده است، اعمال می‌شود).

#### ۴-۳- دامنه محاسباتی و شرایط مرزی

##### ۴-۳-۱- انواع آرایش توده‌ها

جهت ارزیابی توانایی‌های مدل ارائه شده در این فصل، بخش کوچکی از الکتروود کاتد یک پیل سوختی پلیمری شبیه‌سازی می‌شود. همان گونه که در شکل ۶ نشان داده شده است، دامنه محاسباتی از سه لایه موازی یکدیگر تشکیل یافته است: لایه کاتالیست، لایه نفوذ گاز و کanal جریان گاز.

پس از انجام بررسی‌های لازم، یک مدل شبکه-بولتزمن چندمقیاسی برای سه لایه مذکور با واحدهای شبکه به ترتیب برابر با  $0.02 \mu\text{m}$ ،  $0.05 \mu\text{m}$  و  $0.25 \mu\text{m}$  به کار گرفته می‌شود. جزئیات بیشتر دامنه محاسباتی در جدول ۲ ارائه می‌شود. لایه نفوذ گاز به عنوان محیط با توزیع یکنواخت رشتۀ‌های

$$\frac{d\rho^k}{dx} = 0, \quad \frac{d\varphi}{dx} = 0 \quad (43)$$

که  $\rho^k$  و  $\varphi$  به ترتیب چگالی گونه  $k$  و پتانسیل الکتریکی محلی اند. در مرز بین لایه الکتروولیت و غشا شرایط مرزی زیر به کار گرفته می‌شوند:

$$\frac{d\rho^k}{dy} = 0, \quad \varphi = -0.1V \quad (44)$$

در رابطه فوق فرض شده است که اختلاف پتانسیل الکتریکی از الکتروود آند تا مرز بین الکتروود کاتد و غشا برابر با  $1/10$  ولت است. همچنین فرض می‌شود که ضریب پسای خالص انتقال آب از میان غشا برابر صفر می‌باشد. به عبارت دیگر انتقال خالص آبی بین کاتد و آند صورت نمی‌گیرد. البته در صورتی که انتقال خالص آب عددی غیر از صفر باشد نیز می‌توان از مدل ارائه شده در این فصل برای شبیه‌سازی کاتد استفاده نمود.

جهت اعمال شرط تعادل گونه‌های مختلف در مرز بین لایه الکتروولیت و ناحیه حفره، روند ارائه شده در بخش ۴-۳ به کار گرفته می‌شود. از آنجا که جریان الکتریکی از این مرز عبور نمی‌کند، گرادیان پتانسیل الکتریکی در جهت عمود بر این مرز برابر صفر در نظر گرفته می‌شود. در نهایت در مرز بین لایه الکتروولیت و توده‌ها از شرط مرزی عقب‌جست ذکر شده در بخش ۴-۳ استفاده می‌شود. جهت حل عددی معادله انتقال پروتون یا همان معادله  $(10)$ ، لازم است مقدار  $\varphi$  بر روی مرز بین الکتروولیت و توده‌ها مشخص گردد.

جهت این امر از معادله زیر استفاده می‌شود:

$$\sigma \frac{\partial \varphi}{\partial n} = \alpha_{agg}^{eff} j^{ref} \left( \frac{\rho_{us}^0}{\rho^{ref}} \right) \left[ \exp \left( -\frac{\alpha_c F \eta}{R_n T} \right) - \exp \left( \frac{(1-\alpha_c) F \eta}{R_n T} \right) \right] \quad (45)$$

که افت پتانسیل فعالسازی محلی،  $\eta$ ، برابر است با:

$$\eta = V_{cell} - E_{oc} - \varphi \quad (46)$$

در رابطه فوق  $V_{cell}$  و  $E_{oc}$  به ترتیب پتانسیل الکتریکی سلول و پتانسیل الکتریکی مدار باز می‌باشد. فرم تفاضل محدود معادله  $(43)$  یک معادله جبری غیر خطی می‌باشد که با روش ریشه‌یابی سکانت  $[30]$  حل می‌گردد. مقدار اولیه چگالی آب در لایه الکتروولیت به نحوی انتخاب می‌شود که میزان آب اولیه لایه الکتروولیت مطابق جدول  $2$  برابر با  $4/67$  باشد. همچنین چگالی‌های اولیه اکسیژن و نیتروژن درون لایه الکتروولیت بر اساس مقادیر اولیه‌شان در ناحیه حفره به نحوی انتخاب می‌شوند که قانون هنری از ابتدای کار در مرز بین ناحیه حفره و لایه الکتروولیت برقرار باشد.

برنامه کامپیوتری به زبان فرتن و با قابلیت پردازش مواد تحت استاندارد اوپن.ام.پی جهت اجرای مدل ارائه شده در این فصل تهیه شد. اگرچه شبیه‌سازی‌های صورت گرفته در این فصل تنها برای طول کوچکی از کاتد ( $40 \mu m$ ) و تنها برای  $15 ms$  می‌باشد، به کمک ابر رایانه‌های قدرتمند می‌توان از این مدل جهت شبیه‌سازی بخش بزرگتری از کاتد در یک بازه زمانی طولانی‌تر استفاده نمود.

جدول ۲: پارامترهای هندسی و شرایط مرزی و اولیه برای آرایش مینا

Table 2. Geometric parameters and initial and boundary conditions for the base case.

پارامتر	مقدار
طولی شبیه‌سازی شده از الکتروود کاتد	$60 \mu m$
ضخامت لایه کاتالیست	$15 \mu m$
ضخامت لایه نفوذ گاز	$100 \mu m$
میزان تخلخل لایه نفوذ گاز	$78\%$
ارتفاع کاتال چریان گاز	$500 \mu m$
فشار ورودی	$1/5 atm$
اختلاف فشار بین ورودی و خروجی	$5 \times 10^{-5} atm$
نسبت مولی نیتروژن به اکسیژن در هوای ورودی	$21 \text{ به } 79$
رطوبت نسبی هوای ورودی	$65\%$
فشار اولیه	$1/5 atm$
میزان آب اولیه لایه الکتروولیت	$4/67$
نسبت مولی اولیه نیتروژن به اکسیژن	$21 \text{ به } 79$
رطوبت نسبی اولیه	$65\%$

کل خروجی معلوم بوده و فشار جزئی گونه‌ها در خروجی مجهول می‌باشد. بنابراین با فرض اینکه کسر مولی هر گونه در خروجی برابر با کسر مولی آن گونه در یک گره قبل از خروجی می‌باشد (که با توجه به اینکه نسبت مولی گونه‌ها در طی یک واحد شبکه تغییر چندانی نمی‌کند، فرضی منطقی است) می‌توان فشار جزئی هر گونه در خروجی را محاسبه نمود. پس از محاسبه فشار جزئی خروجی هر گونه از روش  $\varphi$  و  $\eta$   $[35]$  استفاده می‌شود.

برای اراضی شرط عدم لنزش بر روی دیواره کاتال و سطح رشته‌های کربنی لایه نفوذ گاز از روش رایج عقب‌جست میان-راه استفاده می‌شود. روند نوین ارائه شده در بخش ۴-۳ جهت اراضی شرط تعادل گونه‌های مختلف در مرز بین ناحیه حفره و لایه الکتروولیت استفاده می‌شود. در نهایت چگالی اولیه تمامی گونه‌ها در ناحیه حفره برابر با چگالی آنها در ورودی قرار داده می‌شود.

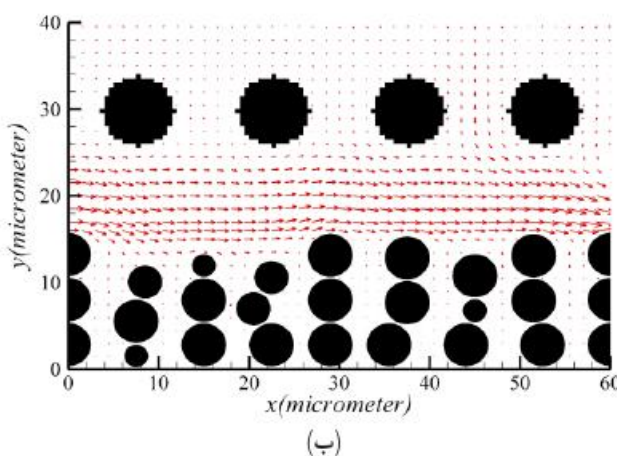
#### ۴-۳- شرایط مرزی لایه الکتروولیت

همان گونه که در شکل ۶ مشاهده می‌شود، لایه الکتروولیت که توده‌ها را پوشانده است دارای مرزهایی با ناحیه حفره، توده و غشا (خط L4) می‌باشد. گرادیان چگالی گونه‌ها و نیز گرادیان پتانسیل الکتریکی بر روی لبه‌های سمت راست و چپ لایه الکتروولیت (به ترتیب خطوط L5 و L6) صفر در نظر گرفته می‌شود. این شرط مرزی را به صورت زیر می‌توان بیان داشت:

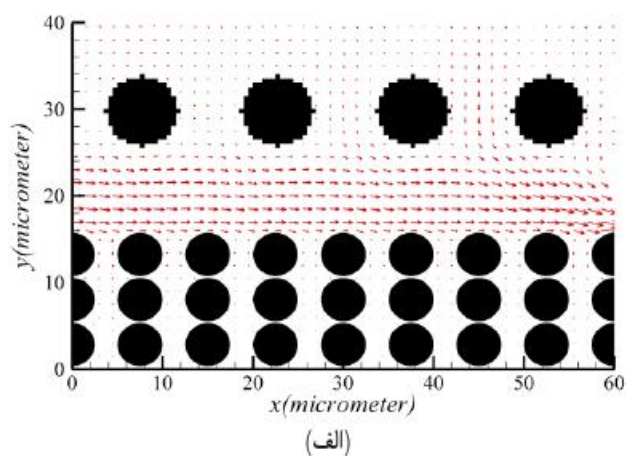
## ۵- ارائه و تحلیل نتایج

نفوذ گاز پس از گذشت ۱۴/۷۹۳ ms از شروع شبیه‌سازی برای دو آرایش منظم و غیر منظم توده‌ها دیده می‌شود. همان گونه که در این شکل مشاهده می‌شود، کسر مولی اکسیژن هم در جهت نفوذش از بین ستون‌های توده‌ها به سمت غشای و هم در جهت جریان کلی سیال بر روی لایه کاتالیست کاهش می‌یابد که این کاهش‌ها به دلیل مصرف اکسیژن طی واکنش الکتروشیمیابی می‌باشد. شکل ۸-(ب) بیان‌گر کاهش غیریکنواخت اکسیژن به موزات لایه کاتالیست برای آرایش غیر منظم توده‌ها می‌باشد. این امر ناشی از بر هم خوردن میدان جریان در اثر غیر یکنواخت بودن سطح لایه کاتالیست (که از ستون‌های غیر منظم توده‌ها تشکیل یافته است) می‌باشد.

در شکل ۷ بردارهای سرعت جریان گاز شامل اکسیژن، نیتروژن و بخارآب در فضای حفره برای هر دو آرایش منظم و نامنظم توده‌ها قابل مشاهده است. همان گونه که مشاهده می‌شود، سرعت جریان در فضای بین لایه کاتالیست و رشته‌های کربنی لایه نفوذ گاز به مراتب بیشتر از سرعت جریان در فضای بین توده‌های لایه کاتالیست می‌باشد. شایان بتوان با تسامح معادله حاکم بر سیال در فضای بین توده‌ها را تنها از نوع پخش (دیفیوژن) تلقی نمود. مقایسه شکل‌های ۷-(الف) و ۷-(ب) حاکی از آن است که وقتی آرایش توده‌ها نامنظم می‌باشد، میدان جریان در ناحیه بین توده‌ها و رشته‌های کربنی نیز دچار نامنظمی می‌شود. در شکل ۸ کسر مولی اکسیژن در لایه کاتالیست و در بخش پایینی لایه



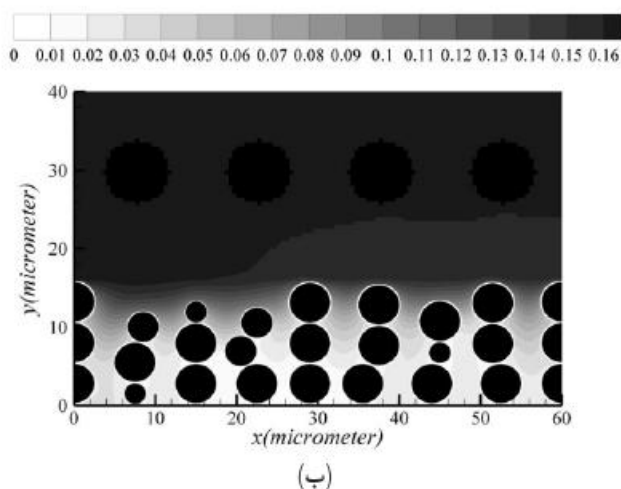
(ب)



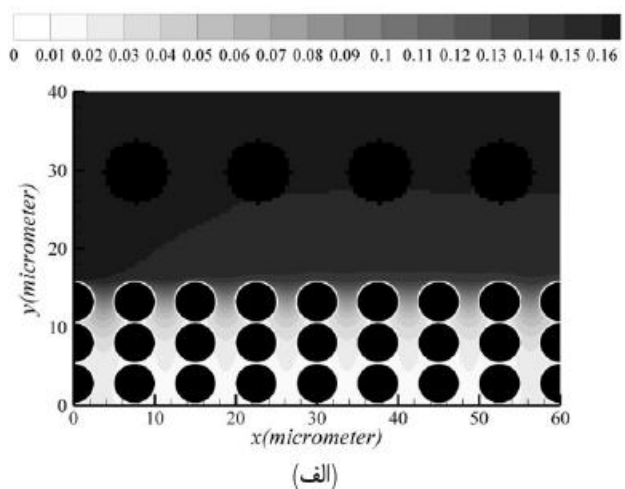
(الف)

Fig. 7. The flow field in a portion of pore region after 14.793 ms for two agglomerate arrangements. (a) Uniform agglomerate arrangement, (b) Non-uniform agglomerate arrangement

شکل ۷: میدان جریان در بخشی از فضای حفره پس از گذشت ۱۴/۷۹۳ ms برای دو آرایش مختلف توده‌ها، (الف) آرایش منظم توده‌ها، (ب) آرایش نامنظم توده‌ها



(ب)



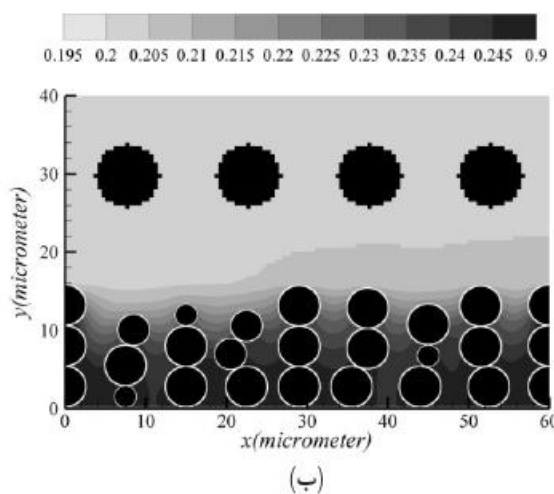
(الف)

Fig. 8. Oxygen mole fraction in a portion of pore region after 14.793 ms for two agglomerate arrangements. (a) Uniform agglomerate arrangement, (b) Non-uniform agglomerate arrangement

شکل ۸: توزیع کسر مولی اکسیژن در بخشی از ناحیه حفره پس از گذشت ۱۴/۷۹۳ ms برای دو آرایش مختلف توده‌ها، (الف) آرایش منظم توده‌ها، (ب) آرایش نامنظم توده‌ها.

چگالی اکسیژن چندان شدید نخواهد بود. در شکل ۹ کسر مولی بخار آب در لایه کاتالیست و بخش پایینی لایه نفوذ گاز پس از گذشت  $14/793$  ms از شروع شبیه سازی برای آرایش های منظم و غیر منظم توده ها دیده می شود. مشابه شکل قبل در مورد اکسیژن، کسر مولی بخار آب هم به سمت غشنا و هم در جهت جریان کلی سیال بر روی لایه کاتالیست به علت واکنش الکتروشیمیایی افزایش می یابد.

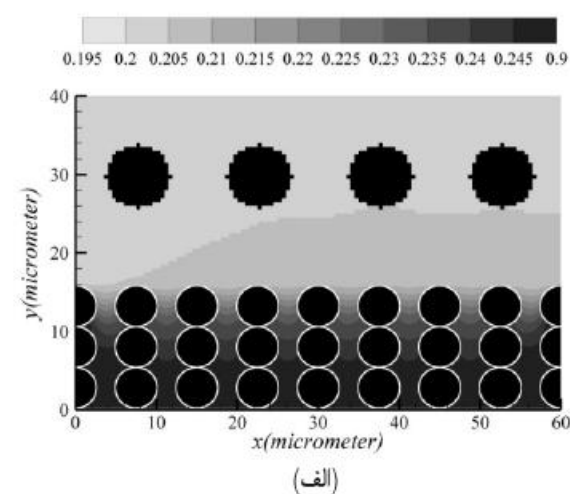
شکل ۱۰ نشان دهنده میزان آب لایه الکتروولیت می باشد. همان گونه که در این شکل آشکار است، میزان آب لایه الکتروولیت تنها بر روی سر ستون ها که در تماس مستقیم با جریان هوای ورودی اند، بر روی مقدار اولیه ( $4/67$ ) معادل رطوبت نسبی  $65$  درصدی هوای ورودی) ثابت باقی می ماند. این امر در حالی است که در سایر نقاط به دلیل جذب آب تولیدی بر روی



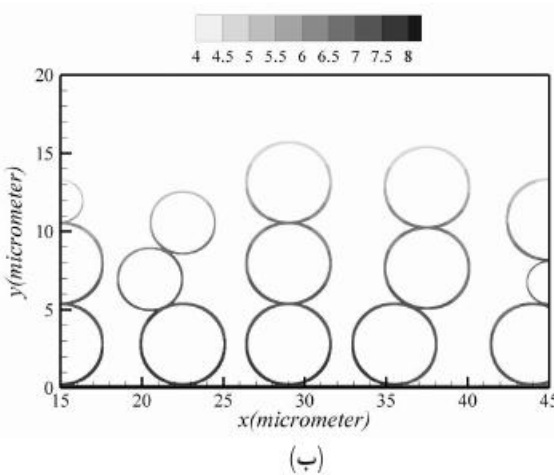
(ب)

Fig. 9. Water vapor mole fraction in a portion of pore region after  $14.793$  ms for two agglomerate arrangements.  
(a) Uniform agglomerate arrangement, (b) Non-uniform agglomerate arrangement

شکل ۹: توزیع کسر مولی بخار آب در بخشی از تابعیت حفره پس از گذشت  $14/793$  ms برای دو آرایش مختلف توده ها، (الف) آرایش منظم توده ها، (ب) آرایش نامنظم توده ها.

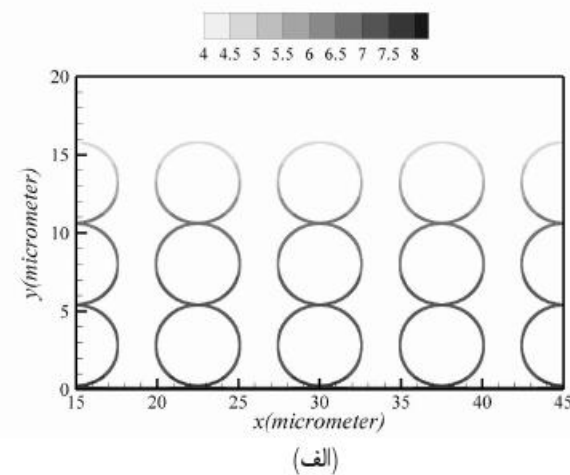


(الف)



(ب)

Fig. 10. Electrolyte water content in the electrolyte film after  $14.793$  ms for two agglomerate arrangements. (a) Uniform agglomerate arrangement, (b) Non-uniform agglomerate arrangement

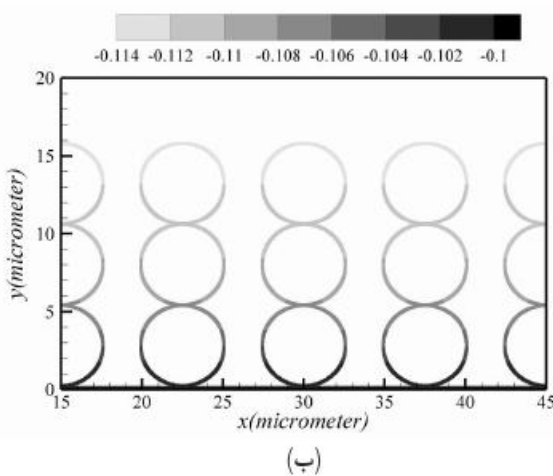


(الف)

شکل ۱۰: توزیع میزان آب در لایه الکتروولیت پس از گذشت  $14/793$  ms برای دو آرایش مختلف توده ها، (الف) آرایش منظم توده ها، (ب) آرایش نامنظم توده ها

ثابت برابر  $V/10$  در موز لایه کاتالیست و غشاء به یک مقدار کمینه بر روی سرستون‌ها کاهش می‌یابد. این امر بدین معنی است که در چنین مواردی مقاومت لایه الکتروولیت در مقابل جریان پروتون موجب  $V/10$  افت پتانسیل الکتریکی می‌گردد. مقدار افت پتانسیل الکتریکی به شدت تابع میزان آب و ضخامت لایه الکتروولیت می‌باشد. با بررسی شکل ۱۱-(ب) می‌توان دریافت که وقتی که آرایش توده‌ها نامنظم باشد، توزیع پتانسیل الکتریکی تا حدودی غیر یکنواخت خواهد بود.

در شکل ۱۲ توزیع چگالی جریان بر روی موز بین لایه کاتالیست و غشاء خط L4 در شکل ۷ برای هر دو آرایش منظم و نامنظم توده‌ها نشان داده شده است. همان‌گونه که مشاهده می‌شود، نمودارهای چگالی جریان بین صفر و مقدار ماکزیممی در حدود  $4000 \text{ A m}^{-2}$  در حال نوسان است.



(ب)

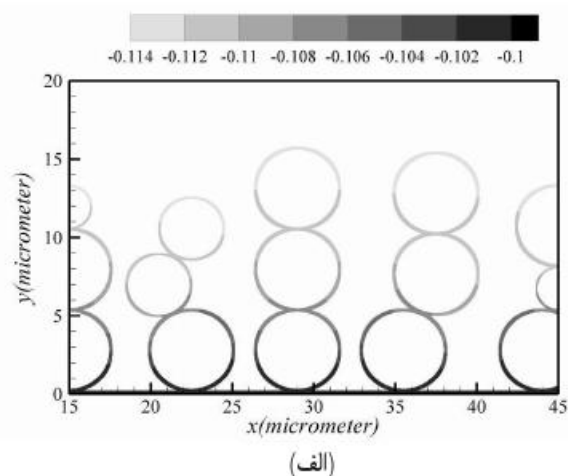
Fig. 11. Electric potential (V) in the electrolyte film after 14.793 ms for two agglomerate arrangements. (a) Uniform agglomerate arrangement, (b) Non-uniform agglomerate arrangement

شکل ۱۱: توزیع پتانسیل الکتریکی بر حسب  $V$  در لایه الکتروولیت پس از گذشت  $14.793 \text{ ms}$  برای دو آرایش مختلف توده‌ها، (الف) آرایش منظم توده‌ها، (ب) آرایش نامنظم توده‌ها.

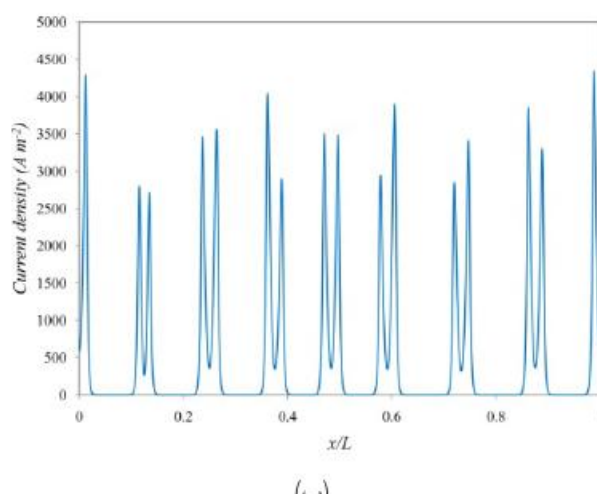
سطح توده‌ها میزان آب لایه الکتروولیت افزایش می‌یابد. این افزایش وقتی که توده‌ها به غشاء نزدیک‌تر باشند، محسوس‌تر است، چرا که آب تولیدی در این توده‌ها به سختی می‌تواند خود را به جریان کلی سیال بر روی لایه کاتالیست برساند.

مقایسه شکل ۱۰-(الف) و ۱۰-(ب) آشکار می‌سازد که هنگامی که آرایش توده‌ها منظم باشد، افزایش میزان آب از سطح لایه کاتالیست به سمت غشاء یکنواخت است و هنگامی که آرایش توده‌ها نامنظم می‌باشد، این افزایش ممکن است غیر یکنواخت و حتی غیر یکنوا باشد. شکل ۱۰-(ب) همچنین نشان می‌دهد که در جاهایی که توده‌ها به یکدیگر نزدیک‌ترند، میزان آب بیشتر است.

توزیع پتانسیل الکتریکی محلی در لایه الکتروولیت برای آرایش منظم و غیر منظم توده‌ها در شکل ۱۱ دیده می‌شود. پتانسیل الکتریکی از یک مقدار



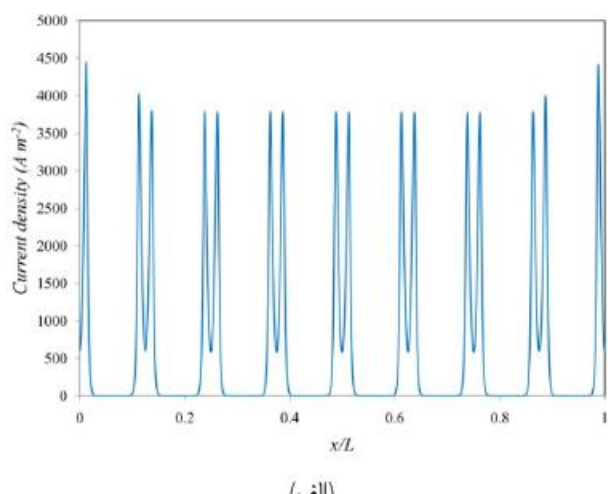
(الف)



(ب)

Fig. 12. Current density distribution ( $\text{Am}^{-2}$ ) on the interface of membrane and catalyst layer after 14.793 ms for two agglomerate arrangements. (a) Uniform agglomerate arrangement, (b) Non-uniform agglomerate arrangement

شکل ۱۲: توزیع چگالی جریان الکتریکی بر حسب  $\text{Am}^2$  در موز غشاء و لایه کاتالیست پس از گذشت  $14.793 \text{ ms}$  برای دو آرایش مختلف توده‌ها، (الف) آرایش منظم توده‌ها، (ب) آرایش نامنظم توده‌ها.



(الف)

Sources, 115 (2003): 81-89.

- [9] Rao, R. M., D. Bhattacharyya, R. Rengaswamy, S. R. Choudhury, "A two-dimensional steady state model including the effect of liquid water for a PEM fuel cell cathode", *Journal of Power Sources*, 173 (2007): 375-393.
- [10] Srinivasarao, M., D. Bhattacharyya, R. Rengaswamy and S. Narasimhan, "Performance analysis of a PEM fuel cell cathode with multiple catalyst layers", *International Journal of Hydrogen Energy*, 35 (2010): 6356-6365.
- [11] Sahraoui, M., C. Kharrat, K. Halouani, "Two-dimensional modeling of electrochemical and transport phenomena in the porous structures of a PEMFC", *International Journal of Hydrogen Energy*, 34 (2009): 3091-3103.
- [12] Khan, M. A., B. Sundén and J. Yuan, "Analysis of multi-phase transport phenomena with catalyst reactions in polymer electrolyte membrane fuel cells – A review", *Journal of Power Sources*, 196 (2011): 7899–7916.
- [13] Bhatnagar, P. L., E. P. Gross and M. Krook, "A model for collision processes in gases, I. small amplitude processes in charged and neutral one-component systems", *Phys Rev*, 94 (1954): 511-525.
- [14] Mohamad, A.A., "Lattice Boltzmann method, Fundamentals and engineering applications with computer codes", 1st ed., Heidelberg, Springer, 2011.
- [15] Succi, S., "The lattice Boltzmann equation for fluid dynamics and beyond numerical mathematics and scientific computation", 1st ed., Oxford, Clarendon Press, 2001.
- [16] Sukop, M.C. and D.T. Thorne, "Lattice Boltzmann modeling, An introduction for geoscientists and engineers", 1st ed., Heidelberg, Springer, 2007.
- [17] Gunstensen, A. K., D. H. Rothman, S. Zaleski, G. Zanetti, "Lattice Boltzmann model of immiscible fluids", *Phys Rev A*, 43 (1991): 4320-4327.
- [18] Shan, X. and H. Chen, "Lattice Boltzmann model for simulating flows with multiple phases and components", *Phys Rev E*, 47 (1993): 1815-1820.
- [19] Swift, M. R., W. R. Osborn and J. M. Yeomans, "Lattice Boltzmann simulation of nonideal fluids", *Phys Rev Lett* 75 (1995): 830-833.
- [20] Mench, M. M., "Fuel Cell Engines", John Wiley & Sons, Inc, New Jersey, 2008.
- [21] Incropera, F. P., D. P. DeWitt, T. L. Bergman and A. S. Lavine, "Fundamentals of Heat and Mass Transfer", John Wiley and Sons, New Jersey, 2007.
- [22] Parthasarathy, S. A., S. Srinivasan, A. J. Appleby and C. R. Martin, "Temperature dependence of the electrode

مقایسه دو شکل ۱۲-(الف) و ۱۲-(ب) حاکی از آن است که وقتی که آرایش توده‌ها نامنظم می‌باشد، قله‌ها متفاوت از یکدیگر بوده و به صورت غیر یکنواخت توزیع می‌شوند. شایان ذکر است که با کاهش اندازه توده‌ها از میزان نوسانات کاسته می‌شود.

## ۶- نتیجه‌گیری

توزیع کسر مولی گونه‌ها در ناحیه حفره و توزیع میزان آب و پتانسیل الکتریکی در لایه الکتروولیت برای دو آرایش منظم و غیر منظم توده‌ها ارائه و تحلیل شدند. تحلیل نتایج بیانگر اهمیت استفاده از روش‌هایی مانند روش شبکه-بولتزمن است که می‌توانند توزیع غیر منظم توده در لایه کاتالیست را لحاظ کنند. در واقع مدل ارائه شده در این فصل کمک بزرگی در جهت شبیه‌سازی واقعی‌تر لایه کاتالیست کاتد یک پیل سوختی غشائی-پلیمری می‌باشد.

## منابع

- [1] In collection: Li, X., "Green Energy for Sustainability and Energy Security". In "Green Energy, Basic Concepts and Fundamentals", Li, X., ed., Springer, London, pp. 1-16, 2011.
- [2] Larminie, J., and A. Dicks, "Fuel cell systems explained", John Wiley & Sons, Chichester, 2003.
- [3] Wang, Y., K. S. Chen, J. Mishler, S. C. Cho, and X. C. Adroher, "A review of polymer electrolyte membrane fuel cells: Technology, applications, and needs on fundamental research", *Applied Energy*, 88 (2011): 981-1007.
- [4] Harvey, D., J. G. Pharoah, and K. Karan, "A comparison of different approaches to modelling the PEMFC catalyst layer", *Journal of Power Sources*, 179 (2008): 209-219.
- [5] Sun, W., B. A. Peppley and K. Karan, "An improved two-dimensional agglomerate cathode model to study the influence of catalyst layer structural parameters", *Electrochimical Acta*, 50 (2008): 3359-3374.
- [6] Das, P.K., X. Li, Z. S. Liu, "A three-dimensional agglomerate model for the cathode catalyst layer of PEM fuel cells", *Journal of Power Sources*, 179 (2008): 186-199.
- [7] Shah, A. A., G. S. Kim, W. Gervais, A. Young, K. Promislow, J. Li and S. Ye, "The effects of water and microstructure on the performance of polymer electrolyte fuel cells", *Journal of Power Sources*, 160 (2006): 1251-1268.
- [8] Siegel, N. P., M. W. Ellis, D. J. Nelson, von M. R. Spakovsky, "Single domain PEMFC model based on agglomerate catalyst geometry", *Journal of Power*

- [29] Springer, T. E., T. A. Zawodzinski and S. Gottesfeld, "Polymer electrolyte fuel cell model", *Journal of the Electrochemical Society*, 138 (1991): 2334-2342.
- [30] Burden, R. L. and J. D. Faires, "Numerical Analysis", CENGAGE Learning, Boston, 2010.
- [31] Zawodzinski, Jr., T.A., M. Neeman, L. O. Sillerud and S. Gottesfeld, "Determination of water diffusion coefficients in perfluorosulfonate ionomeric membranes", *Journal of Physical Chemistry*, 95 (1991): 6040-6044.
- [32] Davis, M. E. and R. J. Davis, "Fundamentals of Chemical Reaction Engineering", McGraw-Hill, Inc, Boston, 2003.
- [33] Kamali, M. R., S. Sundaresan, H. E. A. Van den Akker and J. J. J. Gillissen, "A multi-component two-phase lattice Boltzmann method applied to a 1-D Fischer-Tropsch reactor", *Chemical Engineering Journal*, 207-208 (2012): 587-595.
- [34] Molaeimanesh, G. R. and M. H. Akbari, "A three-dimensional pore-scale model of the cathode electrode in polymer-electrolyte membrane fuel cell by lattice Boltzmann method", *J Power Sources*, 258 (2014): 89-97.
- [35] Zou, Q. and X. He, "On pressure and velocity boundary conditions for the lattice Boltzmann BGK model", *Physics of Fluids*, 9 (1997): 1591-1598.
- kinetics of oxygen reduction at the platinum/Nafion® interface—A microelectrode investigation", *Journal of Electrochemical Society*, 139 (1992): 2530-2537.
- [23] Satterfield, M. B., P. W. Majsztrik, H. Ota, J. B. Benziger and A. B. Bocarsly, "Mechanical properties of Nafion and titania/Nafion composite membranes for polymer electrolyte membrane fuel cells", *Journal of Polymer Science Part B: Polymer Physics*, 44 (2006): 2327-2345.
- [24] Parthasarathy, A., S. Srinivasan, A. J. Appleby and C. R. Martin, "Pressure dependence of the oxygen reduction reaction at the Platinum microelectrode/Nafion interface", *Journal of the Electrochemical Society*, 139 (1992): 2856-2862.
- [25] Kulikovsky, A. A., "Two-dimensional numerical modelling of a direct methanol fuel cell", *Journal of Applied Electrochemistry*, 30 (2000): 1005-1014.
- [26] Li, G. and P. G. Pickup, "Ionic conductivity of PEMFC electrodes: effect of Nafion loading", *Journal of the Electrochemical Society*, 150 (2003): C745-C752.
- [27] Lee, S.J., S. Mukerjee, J. McBreen, Y. T. Rho and T. H. Lee, "Effects of Nafion impregnation on performances of PEMFC electrodes", *Electrochimica Acta*, 43 (1998): 3693-3701.
- [28] Montupally, S., A. J. Becker and J. M. Weidner, "Diffusion of water in Nafion 115 membranes", *Journal of the Electrochemical Society*, 147 (2000): 3171-3177.

Please cite this article using:

G. R. Molaeimanesh and M. H. Akbari, "Effects of Agglomerate Arrangement on Cathode Catalyst Layer Performance in a PEM fuel cell", *Amirkabir J. Mech. Eng.*, 49(1) (2017) 203-218.  
DOI: 10.22060/mej.2016.790

برای ارجاع به این مقاله از عبارت زیر استفاده کنید:



